

تجزیه و تحلیل خطر زمین‌لغزش با استفاده از مدل‌های ANP و LR در محیط GIS (مطالعه موردی پهنه‌گسلی قوشاداغ-ارسباران در آذربایجان شرقی)

احمد رنجبری - دانشجوی دکتری گروه جغرافیای طبیعی (ژئومورفولوژی)، دانشگاه محقق اردبیلی، اردبیل، ایران.
موسی عابدینی * - استاد گروه جغرافیای طبیعی (ژئومورفولوژی)، دانشگاه محقق اردبیلی، اردبیل، ایران.
داود مختاری - استاد گروه جغرافیای طبیعی (ژئومورفولوژی)، دانشگاه تبریز، تبریز، ایران.

پذیرش مقاله: ۱۳۹۷/۰۵/۲۸ تأیید نهایی: ۱۳۹۸/۰۳/۲۷

چکیده

زمین‌لغزه و زمین‌لغزش از زبان بارترین مخاطرات طبیعی هستند که همزادی و همبستگی زمانی و مکانی معناداری با یکدیگر دارند. مطالعه حاضر در پهنه لرزه‌ای متأثر از زمین‌لغزه ۱۳۹۱ ارسباران که تلفات جانی و مالی فراوانی داشت انجام پذیرفت. این زمین‌لغزه موجب افزایش ناپایداری دامنه‌ای و تبدیل فرآیندهای ژئومورفیک به عوامل مخاطره‌زا شده است. در این تحقیق، حساسیت زمین‌لغزش با استفاده از دو مدل فرآیند تحلیل شبکه (ANP) و رگرسیون لجستیک (LR) در سامانه گسلی قوشاداغ پهنه‌بندی گردید و مناسب‌ترین مدل معروفی شد. جهت این مطالعه از تصویر OLI ماهواره لندهست ۸ و ستینیل ۲۰۱۷a استفاده شد. ۱۴ فاکتور مؤثر در وقوع زمین‌لغزش (شیب، جهت دامنه، کاربری زمین، فاصله از گسل و روخدانه و جاده، طبقات ارتفاعی، لیتولوژی، اقلیم، بارندگی، خاک، شاخص رطوبت توپوگرافیک (TWI)، شاخص طول شیب (LS)، شاخص قدرت آبراهه‌ای (SPI)) در محیط GIS آماده شد و در محیط نرم‌افزار Super Decision وزن هریک مشخص گردید و دوباره در ArcGIS نقشه‌های نهایی پهنه‌بندی به دست آمد. در وقوع زمین‌لغزش‌ها، عامل فاصله از گسل و بارش بیشترین و کاربری زمین کمترین نقش را داشته‌اند. وقوع حدود ۶۲/۲ و ۷۱/۱ درصد لغزش‌ها در کلاس‌های خطر زیاد و خیلی زیاد به ترتیب در ANP و رگرسیون لجستیک، نشان‌دهنده دقت قابل قبول نقشه‌های پیش‌بینی شده برای زمین‌لغزش می‌باشد. نتایج ارزیابی صحت روشها با شاخص ROC نشان داد که درصد مساحت زیر منحنی (AUC) نقشه‌ها، به ترتیب در مدل رگرسیون لجستیک ۸۵/۵۲ درصد و در مدل تحلیل شبکه ۸۱/۳۵ درصد با میزان خطای استاندارد ۰/۶۴ به دست آمدند که هردو نشان‌گر قدرت پیش‌بینی خیلی خوب همراه با برتری نسبی مدل رگرسیون لجستیک می‌باشد. نتایج مطالعه نشان‌دهنده آسیب‌پذیری بالای مناطق لرزه‌خیز از حرکات دامنه‌ای دارد و ضرورت شناسایی و پایش مخاطرات ژئومورفولوژیکی و مقایسه آنها در قبل و بعد از زلزله و اجرای عملیات محافظتی را بیشتر می‌کند.

واژگان کلیدی: فرآیند تحلیل شبکه‌ای، رگرسیون لجستیک، پهنه‌بندی خطر زمین‌لغزش، زلزله ارسباران (زلزله ورزقان-اهر)، گسل قوشاداغ.

مقدمه

مخاطرات طبیعی به عنوان پدیده‌های تکرارشدنی و مخرب، همواره در طول دوران حیات کره زمین وجود داشته و پس از پیدایش بشر نیز خطری جدی برای انسان‌ها بوده است. زمین‌لرزه و زمین‌لغزش از مهم‌ترین مخاطرات طبیعی هستند که همزادی و همبستگی زمانی و مکانی بسیار معناداری با همدیگر دارند. زمین‌لرزه‌ها به عنوان عامل اصلی ایجاد بسیاری از حرکت‌های توده‌ای مواد تشکیل دهنده زمین همچون، زمین‌لغزش‌ها، سنگ افت‌ها، بهمن‌ها و روانه‌ها محسوب می‌شوند (کیفر، ۱۹۸۴، بربربان، ۱۹۹۰ و پدرام، ۱۹۹۰، به نقل از: مختاری، ۱۳۸۵، ۵۷). زمین‌لغزش‌ها زندگی انسان‌ها را با تخریب محیط، منابع و دارایی آن‌ها با خطر جدی روبه‌رو می‌کنند (سانوی و همکاران، ۲۰۱۲، ۳۰)، خسارات مالی و جانی همراه با تخریب تأسیسات و افزایش هزینه‌ها را به دنبال دارند (das و Sahoo، ۲۰۱۰، ۶۲۸). سکوتگاه‌های انسانی و به خصوص زیستگاه‌های روستاپی در پاره‌ای از موقع به دلیل استقرار جبری در بسترها واجد زیرساخت مخاطره‌آمیز طبیعی همچون فعالیت گسل‌ها و لرزش‌های حاصل از آن در معرض آسیب‌پذیری قرار دارند (مختاری، ۱۳۸۴، ۷۱). وقوع زمین‌لغزش اثرات زیادی را در مقیاس محلی و جهانی در اقتصاد داشته و هم‌ساله هزاران نفر در سرتاسر جهان زندگی‌شان را به خاطر زمین‌لغزش از دست می‌دهند (یالسین و همکاران، ۲۰۱۱، ۲۷۵). در ایران هم در بیشتر استان‌ها و هر سال موجب فرسایش و نابودی منابع خاک و تغییر شکل زمین می‌شود و به خانه‌ها و زیرساخت‌های اساسی، زمین‌های کشاورزی، اقتصاد و رفاه بشر آسیب می‌زند (پورقاسمی، ۲۰۱۸، ۱۷۸). روابط فضایی موجود بین منطقه وقوع زمین‌لغزش و عوامل مؤثر محیطی، عناصر کلیدی در بررسی حساسیت زمین‌لغزش است (Samodra و همکاران، ۲۰۱۸، ۳۰۸). پهنه‌بندی خطر زمین‌لغزش شامل تقسیم‌بندی سطح زمین به مناطق مجزا و رتبه‌بندی این مناطق بر اساس درجه واقعی یا قابلیت مخاطره‌ای ناشی از بروز زمین‌لغزش روی شیب دامنه‌هاست (شريعت‌جعفری، ۱۳۷۵، ۱۴۸). ارزیابی حساسیت و خطر زمین‌لغزش مهم‌ترین گام در تهیه نقشه زمین‌لغزش است (رجی و همکاران، ۱۳۹۵، ۶۱). لذا شناخت مکانیزم و پهنه‌بندی مناطق مستعد وقوع زمین‌لغزش در مدیریت بحران نقش مهمی ایفا می‌کند (عابدینی و طلابی، ۲۰۱۸، ۲). به طور کلی پژوهش‌های موجود در رابطه با ارزیابی خطر زمین‌لغزش را از لحاظ رویکرد روش‌شناسی می‌توان در سه گروه غالب کمی، کیفی و نگرش هوش مصنوعی (AI) دسته‌بندی کرد. نگرش‌های کیفی بر مبنای داوری‌های ذهنی یک یا گروهی از متخصصین صورت می‌گیرد در حالی که نگرش‌های کمی بر مبنای قوانین سخت ریاضی صرف‌نظر از هرگونه سوگیری شخصی بنا شده‌اند. تکنیک‌های هوش مصنوعی می‌توانند از دانش ذهنی یا تکنیک تطبیق الگو در مقابل حل مجموعه‌ای از معادلات ریاضی استفاده کنند. تکنیک‌های هوش مصنوعی به طور وسیعی شبکه عصبی مصنوعی (ANN)، سیستم خبره و دیگر تکنیک‌های دانش پایه و قانون پایه را پوشش می‌دهند (Neupane و Piantanakulchaisai، ۲۰۰۶، ۲۸۱). با توجه به مطلب فوق و پژوهش‌های صورت‌گرفته برای تهیه نقشه حساسیت زمین‌لغزش می‌توان از مدل‌هایی مثل رگرسیون لجستیک، فرآیند تحلیل سلسله مراتبی (AHP)، فرآیند تحلیل شبکه (ANP)، شبکه عصبی مصنوعی، انواع مدل‌های دومتغیره آماری، مدل منطق فازی و غیره استفاده کرد. تحقیقات اولیه در زمینه مدل‌سازی و پهنه‌بندی خطر حرکات توده‌ای با استفاده از GIS نیز توسط محققینی همچون چانگ، لاماس، پارس، کاسادل انجام شده است (کریشن‌اه، ۱۹۹۹، ۱۵۴). پژوهش‌هایی که در خارج از کشور در مورد پهنه‌بندی خطر زمین‌لغزش با استفاده از مدل رگرسیون لجستیک

^۱. Das & Sahoo

^۲. Yalcin et al

^۳. Samodra et al

^۴. Neupane & Piantanakulchaisai

^۵. Krishna

انجام شده است عبارتند از: گریگوری و جان (۲۰۰۳)، چن و وانگ (۲۰۰۷)، داس و همکاران (۲۰۱۰)، پاردهان و لی (۲۰۱۱)، اتکینسون و ماساری (۲۰۱۱). در داخل کشور نیز پژوهش‌هایی توسط: (خامه‌چیان و همکاران، ۱۳۸۴)، (شیرزادی و همکاران، ۱۳۸۹)، (حسین‌زاده و همکاران، ۱۳۸۸)، (طلایی و همکاران، ۱۳۸۸)، (روستایی و خدائی، ۱۳۹۵)، (عبدینی، ۱۳۹۳) انجام شده است. خالدی و همکاران (۱۳۹۱، ۶۷) با استفاده از مدل رگرسیون لجستیک در محیط ArcGIS به شناسایی عوامل مؤثر در رویداد زمین‌لغزش و پهنه‌بندی میزان خطر این رویداد در حوضه طالقان پرداخته‌اند. متولی و همکاران (۱۳۸۸) وقوع زمین‌لغزش در حوضه واژ را با استفاده از روش رگرسیون لجستیک بررسی نمودند. نتایج نشان داد لیتوولوژی، فاصله از جاده و شبیق نقش مهمی در وقوع زمین‌لغزش در منطقه دارند. عبدینی و همکاران (۲۰۱۷) با استفاده از مدل آماری رگرسیون لجستیک و AHP به شناسایی عوامل مؤثر بر وقوع زمین‌لغزش و پهنه‌بندی میزان خطر این رویداد در شهرستان بیجار استان کردستان پرداخته‌اند. لایه‌های اطلاعاتی به کار رفته در این تحقیق، شامل ارتفاع از سطح دریا، درجه شبیق، جهت شبیق، زمین‌شناسی، فاصله از عناصر خطی (گسل، جاده و رودخانه)، بارندگی، کاربری اراضی و ۱۴۴ پهنه‌لغزشی به عنوان متغیر مستقل می‌باشد. ایشان به این نتیجه رسیدند که مدل رگرسیون با صحت کلی ۸۴٪ نسبت به AHP از دقت بالایی برخوردار است. فتحی و همکاران (۱۳۹۴) با درنظر گرفتن ۱۷ پارامتر طبیعی و انسانی با استفاده از روش‌های فازی، تحلیل سلسه مراتبی و فرآیند تحلیل شبکه‌ای، به بررسی حساسیت منطقه سانگورچی نسبت به زمین-لغزش پرداخته‌اند. آنها به این نتیجه رسیده‌اند که ۷۶ درصد از منطقه به مناطق با حساسیت زیاد تعلق دارند و روش ANP را روش مناسبی برای تحلیل حساسیت زمین‌لغزش معرفی نموده‌اند. اکبری و همکاران (۱۳۹۶) با استفاده از مدل تلفیقی فازی-فرآیند تحلیل شبکه‌ای به تهیه نقشه حساسیت زمین‌لغزش در حوضه فاروب رومان پرداختند. نتایج نشان دهنده کارآیی بالای این روش در مدل‌سازی حساسیت زمین‌لغزش این حوضه بوده است. متخصصین ژئومورفولوژی تکتونیکی به‌ویژه شاخه مخاطرات آن لازم است آنالیز مقدماتی خطر ۱ (PHA) را به عنوان اولین گام در تحلیل ایمنی سامانه و طبقه‌بندی خطرات بالقوه فرآیندی و کارکردی زیرسامانه‌ها مدنظر قرار دهد و بر پایه ارزیابی و مستندسازی ریسک خطرات سامانه‌های پایه‌ریزی شده جدید یا تغییریافته از طریق تحلیل و ارزیابی گروهی از خطرات عمومی تحت تاثیر قرار دهنده سامانه و ارایه پیشنهادات پایش خطرات عمل نماید (وینکولی ۲، ۱۹۹۴، ۶۲). در این نوشتار، خطر زمین‌لغزش مؤثر در آسیب‌پذیری سکونتگاه‌ها و اراضی به‌ویژه پس از زلزله ارسپاران مورد ارزیابی و پهنه‌بندی قرار گرفته است. به‌طور کلی هدف از چنین مطالعه‌ای، پهنه‌بندی کردن مناطق پایدار و ناپایدار پهنه‌لرزه‌ای ارسپاران (اصل پیشگیری بهتر از درمان) است که در کاهش آسیب‌پذیری منتج از برنامه‌ریزی محیطی و شهری مناسب می‌تواند اثرات مطلوبی بر جای گذارد. از سویی منطقه مورد مطالعه، پس از زلزله ۱۳۹۱، به سرعت در مسیر توسعهٔ فیزیکی قرار دارد. از این رو، این نوشتار با بهره‌گیری از تجزیه و تحلیل عناصر مؤثر در وقوع مخاطرات دامنه‌ای با استفاده از فرآیند تحلیل شبکه^۳ و مقایسه آن با مدل رگرسیون لجستیک^۴ به تحلیل کمی از مناطق پایدار و ناپایدار در این پهنه‌متاثر از زلزله پردازد. گفتنی است تاکنون از این روش مقایسه‌ای به‌ویژه در مناطق متاثر از زلزله استفاده نشده است.

^۱. Preliminary Hazard Analysis

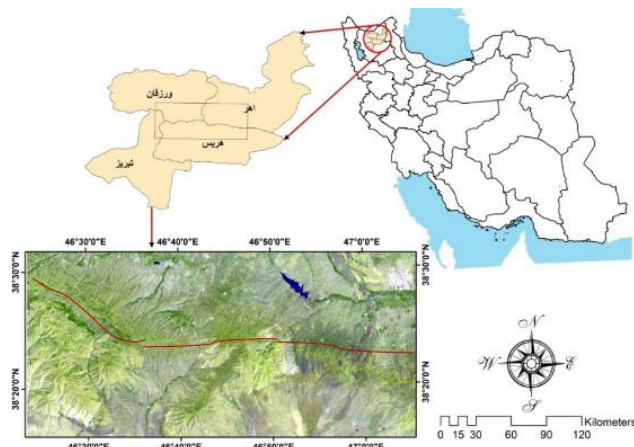
^۲. Vincoli

^۳. Analytic network process

^۴. Logistic Regression Model

منطقه مورد مطالعه

محدوده مورد مطالعه بخش عمدahای از سامانه گسلی قوشاداغ (شامل بخش‌هایی از شهرستان‌های اهر، ورزقان و هریس) واقع در استان آذربایجان شرقی را در بر می‌گیرد (شکل ۱). گستره مورد بررسی در بلوک ساختاری ارس (شمال باختری ایران) قرار گرفته است (بربریان و بیت‌الله^۱، ۱۹۹۹، ۱۲۲). این منطقه، در پهنه برخوردار میان صفحه‌های ایران، عربی و قفقاز جای داشته و درگیر جنبش‌های ناشی از برهم‌کنش این سه پهنه هست و از این نظر از ویژگی‌های لرزه‌زمین‌ساختی منحصر به‌فردی برخوردار است. رخداد زلزله‌های دوقلوی ویرانگر ۲۱ مرداد ۱۳۹۱ با بزرگای $6/4 \times 6/2$ و تلفات جانی و مالی بسیاری به دنبال داشت. این دو رخداد که تنها ۶ کیلومتر و ۱۱ دقیقه فاصله داشتند (دونر و همکاران^۲، ۲۰۱۵) موجبات بروز یا تشدید سایر مخاطرات ژئومورفولوژیکی از جمله حرکات دامنه‌ای را فراهم آورد که با موضوع مورد بحث این تحقیق نیز مرتبط می‌باشد.



شکل ۱: موقعیت منطقه مورد مطالعه

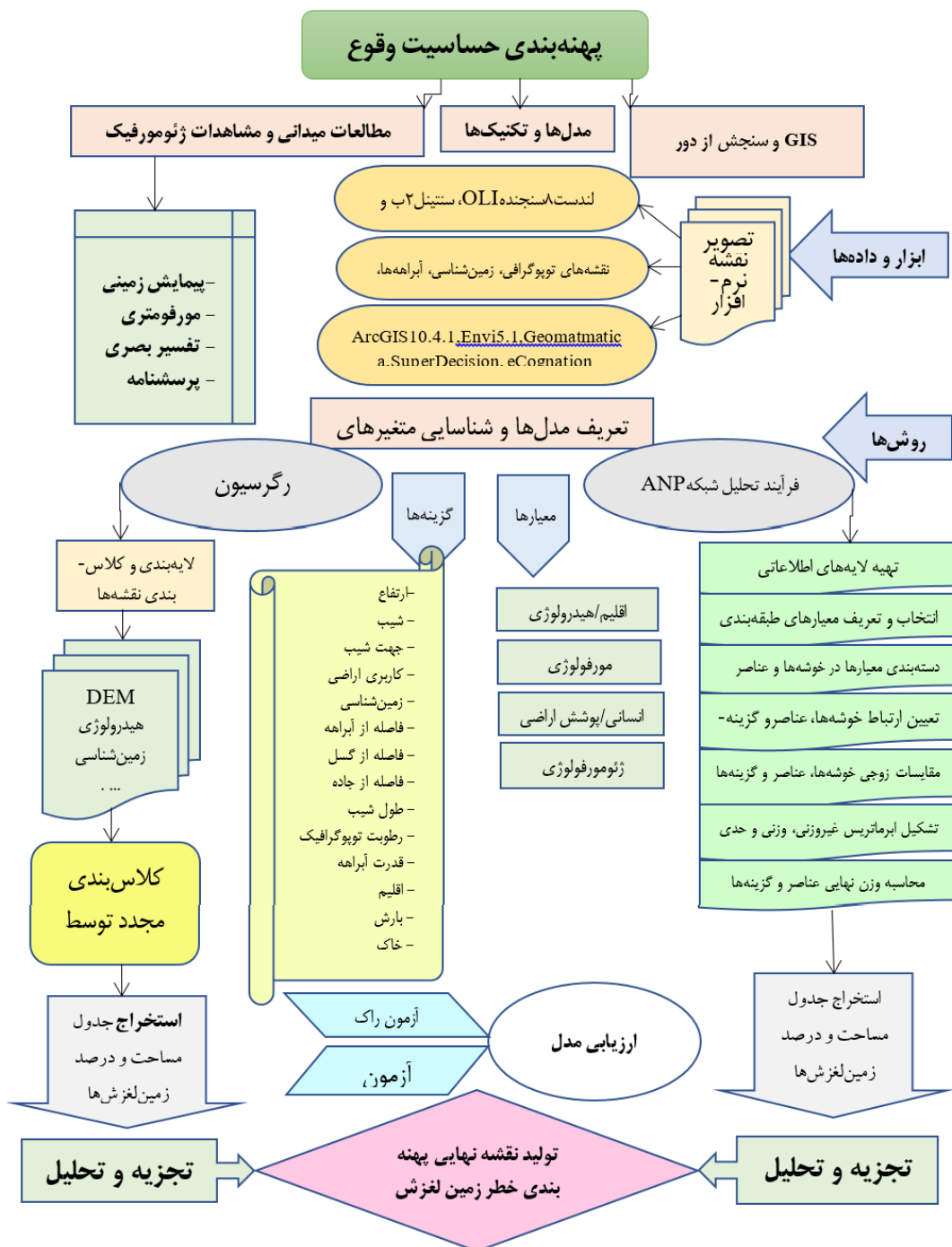
روش تحقیق

این پژوهش از نوع تحقیقات کاربردی-تجربی و از نظر روش، جزء تحقیقات توصیفی-تحلیلی با رویکرد مقایسه‌ای است. جهت اجرای مدل و تهیه نقشه حساسیت زمین‌لغزش، جمع‌آوری و تهیه پایگاه داده از عوامل مؤثر در وقوع زمین‌لغزش از مهم‌ترین مراحل تحقیق است بدین منظور در ابتدا به تعیین محدوده مورد نظر با لحاظ کردن فرم و فرآیندهای مخاطره-آمیز و با تأکید بر منطقه متأثر از زلزله ارسباران که تقریباً محدوده‌ای منطبق با شدت لرزه‌ای ۶ تا ۸ را در بر می‌گیرد اقدام شد. سپس با استفاده از ۱۴ پارامتر (ارتفاع، اقلیم، بارش، جهت شیب، خاک، رطوبت توپوگرافیک (TWI)، زمین‌شناسی، شیب، طول شیب (LS)، فاصله از آبراهه، فاصله از جاده، فاصله از گسل، قدرت آبراهه (SPI)، کاربری اراضی) عمل پهنه‌بندی زمین‌لغزش انجام شده است. در اولین گام به کمک نقشه‌های توپوگرافی، لایه مدل ارتفاعی منطقه (DEM) با اندازه پیکسل ۳۰ متری تهیه شد با داشتن این لایه با استفاده از عملگرهای مختلف موجود در بسته نرم‌افزاری GIS لایه‌هایی همچون شیب، جهت شیب و شبکه زهکشی که به صورت فاصله از رودخانه در مدل استفاده شده است، استخراج شدند. برای استخراج گسل‌ها، باند ۸ تصویر ماهواره لندهای OLI با ردیف ۳۳ و گذر ۱۶۸، با باند پانکروماتیک آن (۱۵ متر) فیوژن شد. جهت مشاهده بهتر خطواره‌ها از فن‌های RGB، PCA، فیلترهای جهت‌دار و نسبت باندی استفاده گردید سپس خطواره‌ها از تصاویر Pan Sharp شده در محیط نرم‌افزار ژئوماتیکا و با اعمال الگوریتم استخراج

^۱. Berberian & Yeats

^۲. Donner et al

خطواره ۱ استخراج و با پیمایش زمینی تطبیق گردید. از نرم‌افزار سوپر دسیژن هم برای محاسبه وزن گزینه‌ها استفاده شده است. هدف، ابزار، روش‌ها و فرایند پژوهش در روندنا م به اختصار آورده شده است (شکل ۲).



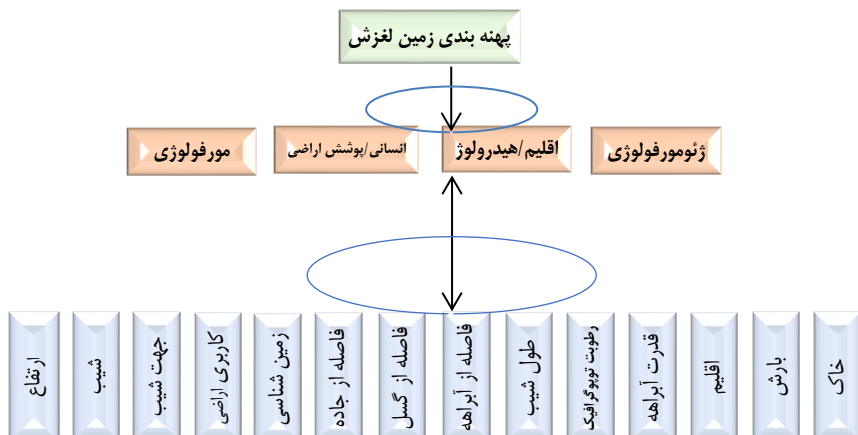
شکل ۲: فلوچارت یا روندnamای روش تحقیق و ابزارهای مورد استفاده

^۱. Lineament Extraction

بررسی عوامل موثر بر وقوع زمین‌لغزش‌های یک منطقه از موارد اساسی برای پهنه‌بندی خطر زمین‌لغزش‌ها به شمار می‌رود. پهنه‌بندی با استفاده از بهترین عوامل از دقت بیشتری برخوردار بوده و نتیجه کار پهنه‌بندی مناسب و مفید خواهد بود. اگر عوامل به درستی شناسایی شوند ارزیابی و تجزیه و تحلیل هر کدام از آنها آسان‌تر بوده و می‌توان آنها را بر حسب تاثیری که دارند، اولویت‌بندی کرد. اولین قدم، شناسایی و تحدید منطقه مورد مطالعه بود که در راستای هدف کلی از تحلیل نقش رفتار زمین‌ساختی پهنه گسلی در ایجاد مخاطرات ژئومورفیک، محدوده متأثر از زلزله با شدت ۶ تا ۸ انتخاب گردید؛ از آنجا که عامل موثر در زمین‌لغزش‌های مورد مطالعه ما و در راستای هدفمان، به صورت فرضیه‌ای از پیش تعیین شده عامل زلزله تعریف شده است لذا به منظور راستی‌آزمایی فرضیه، الزاماً هر پهنه‌لغزشی که مورد شناسایی قرار گرفته، با تصاویر هوایی قبل از زلزله سال ۱۳۹۱ شمسی برابر با ۱۲۰ میلادی، مقابله و مقایسه شده است. سپس برای بالابردن ضریب اطمینان، از ساکنان محلی و افراد بومی از طریق روش مصاحبه، بازه زمانی رخداد لغزش را به قبل و بعد از زلزله پرسش و طبقه‌بندی نموده است و در صورت تعارض، مبنای قضاوت را بر مشاهدات میدانی و وجود پارامترهایی همچون تازه بودن زخم‌های لغزش، نبود یا کمبود پوشش گیاهی و ... گذاشته است. نتایج حاصل، نشان از همبستگی قوی بین دو روش شناسایی و در نتیجه اطمینان بالای طبقه‌بندی داشته است. در اینجا چگونگی کار با این دو روش به اختصار معرفی می‌شوند:

الف) فرآیند تحلیل شبکه

مدل فرآیند تحلیل شبکه شکل گسترده‌ای از مدل فرآیند تحلیل سلسله‌مراتبی است، فرآیند تحلیل سلسله‌مراتبی توسط ساعتی در سال ۱۹۸۰ معرفی شد. فرض اصلی این روش وجود استقلال زیر معیارها با هم است (ساعتی، ۲۰۰۵، ۲۱۰). در پژوهش حاضر یک مدل شبکه‌ای سه لایه متشکل از لایه‌های هدف، معیارها و گزینه‌ها با توجه به مسأله تحقیق طراحی و سازماندهی شد. شبکه مورد نظر از مراحل زیر تشکیل شده بود: مرحله اول، هدف و موضوع مورد مطالعه بود و بررسی پتانسیل وقوع زمین‌لغزش به عنوان هدف این مطالعه انتخاب گردید. مرحله دوم معیارهای تحقیق را شامل می‌شود که در برگیرنده فاکتورهای تاثیرگذار در وقوع زمین‌لغزش‌های منطقه می‌باشد. مرحله سوم هم انتخاب کلاس‌ها یا گزینه‌های مورد نظر براساس طبقات خطر در یک خوش‌جداگانه طراحی گردیدند ایجاد ارتباط بین عناصر و خوش‌های در تحقیق حاضر براساس تکنیک دیماتل ۱ از طریق پرسشنامه انجام شد. شکل^(۳) مدل طراحی شده تحلیل شبکه را نشان می‌دهد.

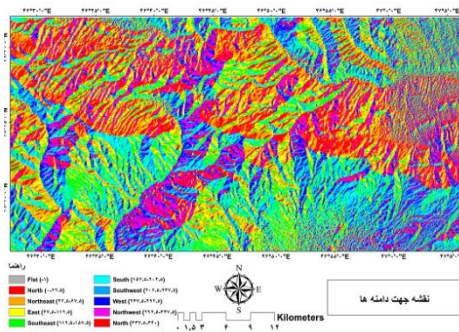


شکل ۳: نمودار معیارها و زیرمعیارهای ارزیابی پتانسیل زمین‌لغزش‌های پهنه لرزه‌ای ارسباران

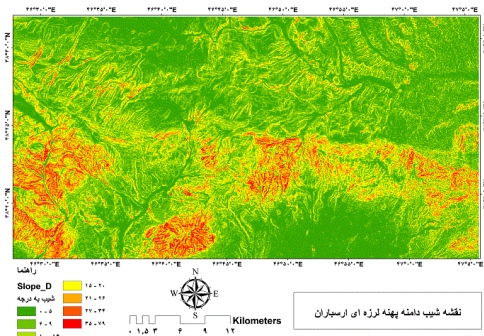
در پهنه‌بندی زمین‌لغزش دو عامل بسیار اهمیت دارد؛ ۱) رتبه‌بندی و تعیین ضریب تأثیر پارامترهای مستعد کننده وقوع زمین‌لغزش ۲) تعیین سطح تأثیر کلاس‌های هر پارامتر در وقوع زمین‌لغزش (عابدینی و همکاران، ۱۳۹۵، ۱۵۰).

بحث و یافته‌های تحقیق

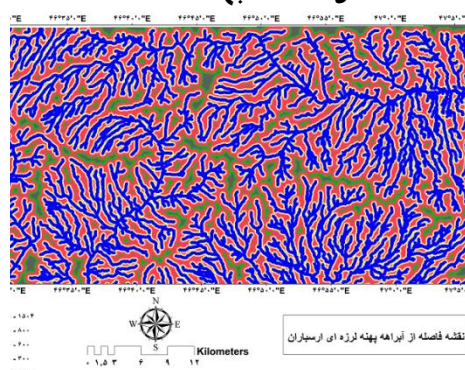
در این پژوهش برای انجام پهنه‌بندی زمین‌لغزش، از ۱۴ عامل مؤثر در زمین‌لغزش شامل: ارتفاع، اقلیم، بارش، جهت شیب، خاک، رطوبت توپوگرافیک (TWI)، زمین‌شناسی، شیب، طول شیب (LS)، فاصله از آبراهه، فاصله از جاده، فاصله از گسل، قدرت آبراهه (SPI) و کاربری اراضی، لایه‌های اطلاعاتی تهیه گردید (شکل‌های ۴ تا ۹).



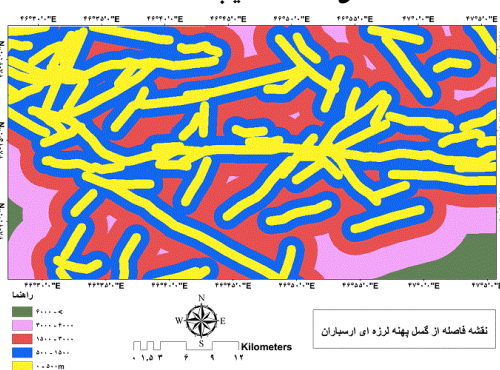
شکل ۵: نقشه جهت دامنه‌ها



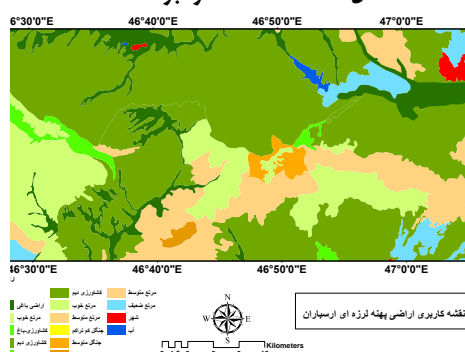
شکل ۶: نقشه شیب دامنه‌ها



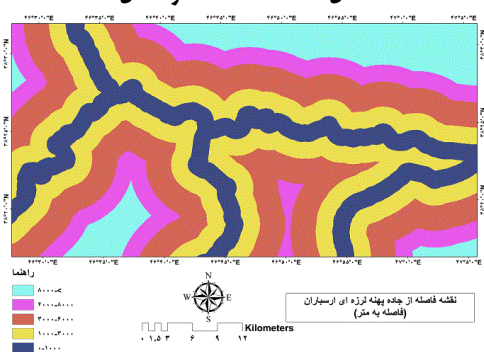
شکل ۷: نقشه فاصله از آبراهه‌ها



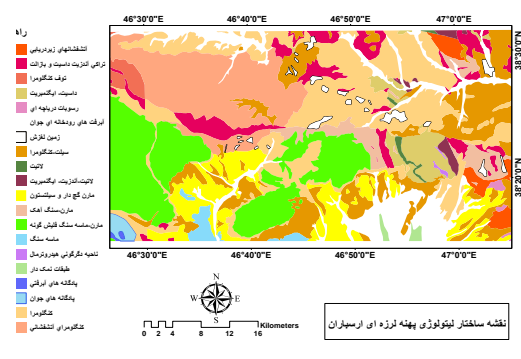
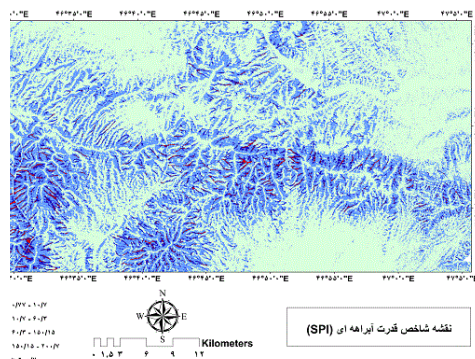
شکل ۸: نقشه فاصله از جاده



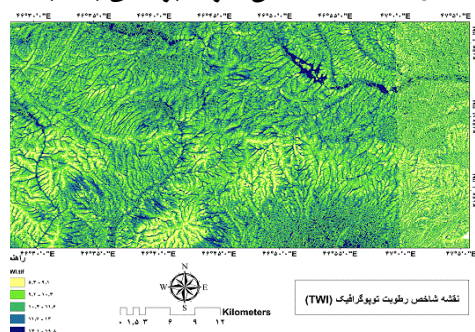
شکل ۹: نقشه کاربری اراضی



شکل ۱۰: نقشه فاصله از جاده

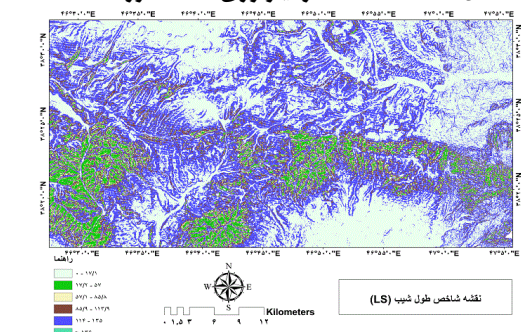


شکل ۱۱: نقشه شاخص قدرت آبراهه‌ای (SPI)

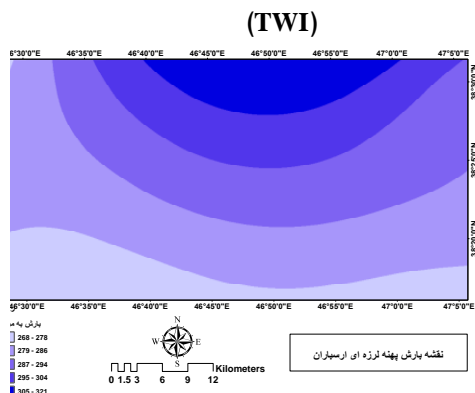


شکل ۱۳: نقشه شاخص رطوبت توپوگرافیک

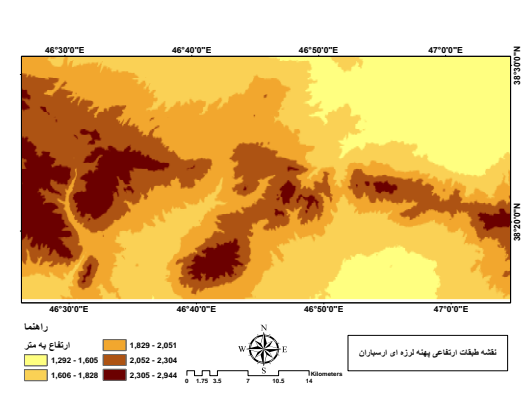
شکل ۱۰: نقشه ساختار لیتولوژی منطقه مورد مطالعه



شکل ۱۲: نقشه شاخص طول شیب (LS)



شکل ۱۵: نقشه بارش

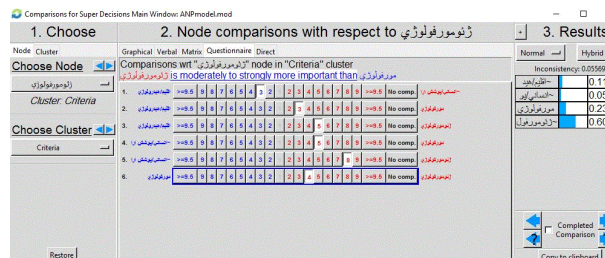


شکل ۱۴: نقشه طبقات ارتفاعی (DEM)

پس از تهیه نقشه‌های معیار و گزینه‌ها، به منظور بررسی حساسیت زمین‌لغزش، از روش فرایند تحلیل شبکه‌ای و رگرسیون لجستیک استفاده گردید. به منظور اجرای فرایند تحلیل شبکه، لایه‌های مربوط به معیارها در نرم‌افزار ArcGIS تهیه شد سپس در محیط نرم‌افزار سوپر دیزین مدل اصلی فرایند تحلیل شبکه بر اساس پرسشنامه‌های تکمیل شده توسط متخصصین این امر طراحی گردید. میزان ناسازگاری ۰/۰۵۵ بدست آمد که مطلوب بود. این میزان از خطا با توجه به انبوهی قضاوت‌ها قابل قبول می‌باشد. پس از مقایسه زوجی عناصر و انجام محاسبات طولانی، ضریب و ارزش نهایی هر عنصر و

گزینه تعیین شد (شکل ۱۶). برای محاسبه ضریب نهایی، سه نوع سوپرماتریس مورد محاسبه قرار گرفت (جدول‌های ۱، ۲ و ۳): ۱-سوپرماتریس وزنی ۲-سوپرماتریس غیروزنی ۳-سوپرماتریس حدی

سپس این ماتریس‌ها در ارتباط با یکدیگر مورد محاسبه و تجزیه و تحلیل قرار گرفتند و در نهایت نتیجه کلی به دست آمد.



شکل ۱۶: نمونه‌ای از عملیات انتخاب و مقایسه معیارها و نتایج آن همراه با مقدار مغایرت در محیط نرم‌افزار سوپر دسیژن

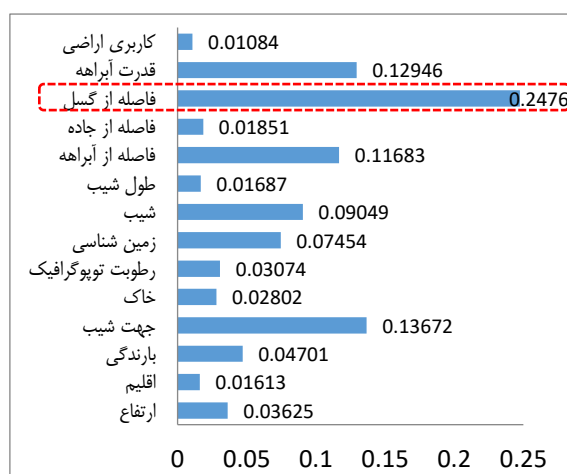
جدول ١: سویر ماتریس غیر وزنی اولیه

جدول ۲: سوپر ماتریس وزنی

جدول ۳: سوپر ماتریس حد (خروجی نرم‌افزار Super Decision)

سوپر ماتریس حد	هدف	معیار		ارتفاع	افقیم	بارندگی	جهت شب	خاک	زمین شناسی	Roberto توبوگرافیک	شب	طول شب	فاصله از چاه	فاصله از گسل	فاصله از آبراهه	قدرت آبراهه	کاربری اراضی
		نهاده بندی زمین‌لغزش	نمودارهای زمین‌لغزش														
بعز	نهاده بندی زمین‌لغزش	۰	۰	۰.۱۵	۰.۱۵	۰.۱۵	۰.۱۵	۰.۱۵	۰.۱۵	۰.۱۵	۰.۱۵	۰.۱۵	۰.۱۵	۰.۱۵	۰.۱۵	۰.۱۵	۰.۱۵
	کاربری اراضی	۰.۱۵	۰.۱۵	۰.۱۵	۰.۱۵	۰.۱۵	۰.۱۵	۰.۱۵	۰.۱۵	۰.۱۵	۰.۱۵	۰.۱۵	۰.۱۵	۰.۱۵	۰.۱۵	۰.۱۵	۰.۱۵
	نمودارهای زمین‌لغزش	۰.۱۵	۰.۱۵	۰.۱۵	۰.۱۵	۰.۱۵	۰.۱۵	۰.۱۵	۰.۱۵	۰.۱۵	۰.۱۵	۰.۱۵	۰.۱۵	۰.۱۵	۰.۱۵	۰.۱۵	۰.۱۵
	نمودارهای زمین‌لغزش	۰.۱۵	۰.۱۵	۰.۱۵	۰.۱۵	۰.۱۵	۰.۱۵	۰.۱۵	۰.۱۵	۰.۱۵	۰.۱۵	۰.۱۵	۰.۱۵	۰.۱۵	۰.۱۵	۰.۱۵	۰.۱۵
	نمودارهای زمین‌لغزش	۰.۱۵	۰.۱۵	۰.۱۵	۰.۱۵	۰.۱۵	۰.۱۵	۰.۱۵	۰.۱۵	۰.۱۵	۰.۱۵	۰.۱۵	۰.۱۵	۰.۱۵	۰.۱۵	۰.۱۵	۰.۱۵
گزینه	ارتفاع	۰.۰۴۶	۰.۰۴۶	۰.۰۴۶	۰.۰۴۶	۰.۰۴۶	۰.۰۴۶	۰.۰۴۶	۰.۰۴۶	۰.۰۴۶	۰.۰۴۶	۰.۰۴۶	۰.۰۴۶	۰.۰۴۶	۰.۰۴۶	۰.۰۴۶	۰.۰۴۶
	افقیم	۰.۰۴۶	۰.۰۴۶	۰.۰۴۶	۰.۰۴۶	۰.۰۴۶	۰.۰۴۶	۰.۰۴۶	۰.۰۴۶	۰.۰۴۶	۰.۰۴۶	۰.۰۴۶	۰.۰۴۶	۰.۰۴۶	۰.۰۴۶	۰.۰۴۶	۰.۰۴۶
	بارندگی	۰.۰۴۶	۰.۰۴۶	۰.۰۴۶	۰.۰۴۶	۰.۰۴۶	۰.۰۴۶	۰.۰۴۶	۰.۰۴۶	۰.۰۴۶	۰.۰۴۶	۰.۰۴۶	۰.۰۴۶	۰.۰۴۶	۰.۰۴۶	۰.۰۴۶	۰.۰۴۶
	جهت شب	۰.۰۴۶	۰.۰۴۶	۰.۰۴۶	۰.۰۴۶	۰.۰۴۶	۰.۰۴۶	۰.۰۴۶	۰.۰۴۶	۰.۰۴۶	۰.۰۴۶	۰.۰۴۶	۰.۰۴۶	۰.۰۴۶	۰.۰۴۶	۰.۰۴۶	۰.۰۴۶
	خاک	۰.۰۴۶	۰.۰۴۶	۰.۰۴۶	۰.۰۴۶	۰.۰۴۶	۰.۰۴۶	۰.۰۴۶	۰.۰۴۶	۰.۰۴۶	۰.۰۴۶	۰.۰۴۶	۰.۰۴۶	۰.۰۴۶	۰.۰۴۶	۰.۰۴۶	۰.۰۴۶
گزینه	زمین شناسی	۰.۰۴۶	۰.۰۴۶	۰.۰۴۶	۰.۰۴۶	۰.۰۴۶	۰.۰۴۶	۰.۰۴۶	۰.۰۴۶	۰.۰۴۶	۰.۰۴۶	۰.۰۴۶	۰.۰۴۶	۰.۰۴۶	۰.۰۴۶	۰.۰۴۶	۰.۰۴۶
	Roberto توبوگرافیک	۰.۰۴۶	۰.۰۴۶	۰.۰۴۶	۰.۰۴۶	۰.۰۴۶	۰.۰۴۶	۰.۰۴۶	۰.۰۴۶	۰.۰۴۶	۰.۰۴۶	۰.۰۴۶	۰.۰۴۶	۰.۰۴۶	۰.۰۴۶	۰.۰۴۶	۰.۰۴۶
	شب	۰.۰۴۶	۰.۰۴۶	۰.۰۴۶	۰.۰۴۶	۰.۰۴۶	۰.۰۴۶	۰.۰۴۶	۰.۰۴۶	۰.۰۴۶	۰.۰۴۶	۰.۰۴۶	۰.۰۴۶	۰.۰۴۶	۰.۰۴۶	۰.۰۴۶	۰.۰۴۶
	طول شب	۰.۰۴۶	۰.۰۴۶	۰.۰۴۶	۰.۰۴۶	۰.۰۴۶	۰.۰۴۶	۰.۰۴۶	۰.۰۴۶	۰.۰۴۶	۰.۰۴۶	۰.۰۴۶	۰.۰۴۶	۰.۰۴۶	۰.۰۴۶	۰.۰۴۶	۰.۰۴۶
	فاصله از چاه	۰.۰۴۶	۰.۰۴۶	۰.۰۴۶	۰.۰۴۶	۰.۰۴۶	۰.۰۴۶	۰.۰۴۶	۰.۰۴۶	۰.۰۴۶	۰.۰۴۶	۰.۰۴۶	۰.۰۴۶	۰.۰۴۶	۰.۰۴۶	۰.۰۴۶	۰.۰۴۶
گزینه	فاصله از گسل	۰.۰۴۶	۰.۰۴۶	۰.۰۴۶	۰.۰۴۶	۰.۰۴۶	۰.۰۴۶	۰.۰۴۶	۰.۰۴۶	۰.۰۴۶	۰.۰۴۶	۰.۰۴۶	۰.۰۴۶	۰.۰۴۶	۰.۰۴۶	۰.۰۴۶	۰.۰۴۶
	فاصله از جاده	۰.۰۴۶	۰.۰۴۶	۰.۰۴۶	۰.۰۴۶	۰.۰۴۶	۰.۰۴۶	۰.۰۴۶	۰.۰۴۶	۰.۰۴۶	۰.۰۴۶	۰.۰۴۶	۰.۰۴۶	۰.۰۴۶	۰.۰۴۶	۰.۰۴۶	۰.۰۴۶
	فاصله از آبراهه	۰.۰۴۶	۰.۰۴۶	۰.۰۴۶	۰.۰۴۶	۰.۰۴۶	۰.۰۴۶	۰.۰۴۶	۰.۰۴۶	۰.۰۴۶	۰.۰۴۶	۰.۰۴۶	۰.۰۴۶	۰.۰۴۶	۰.۰۴۶	۰.۰۴۶	۰.۰۴۶
	کاربری اراضی	۰.۰۴۶	۰.۰۴۶	۰.۰۴۶	۰.۰۴۶	۰.۰۴۶	۰.۰۴۶	۰.۰۴۶	۰.۰۴۶	۰.۰۴۶	۰.۰۴۶	۰.۰۴۶	۰.۰۴۶	۰.۰۴۶	۰.۰۴۶	۰.۰۴۶	۰.۰۴۶
	قدرت آبراهه	۰.۰۴۶	۰.۰۴۶	۰.۰۴۶	۰.۰۴۶	۰.۰۴۶	۰.۰۴۶	۰.۰۴۶	۰.۰۴۶	۰.۰۴۶	۰.۰۴۶	۰.۰۴۶	۰.۰۴۶	۰.۰۴۶	۰.۰۴۶	۰.۰۴۶	۰.۰۴۶

شکل(۱۷) ضرایب استخراج شده از مدل تحلیل شبکه و نتیجه اهمیت کلاس‌ها را بر اساس اولویت و اهمیت آن‌ها از نظر خطر وقوع زمین‌لغزش نشان می‌دهد.



شکل ۱۷: ضرایب استخراج شده از مدل تحلیل شبکه

براساس نتایج به دست آمده لایه فاصله از گسل با ۰/۲۴۸ و جهت شبیه با ۰/۱۳۷ بیشترین ضریب تأثیر را در پهنه‌بندی پتانسیل زمین‌لغزش دارند. در مقابل کاربری اراضی با ۰/۰۱۱ و افقیم با ۰/۰۱۶ کمترین ضریب تأثیر را دارا هستند (جدول ۱۷).

جدول ۴: جدول پارامترها و وزن هر یک از کلاس‌ها بر اساس تحلیل شبکه

Alternatives	Total	Normal	Ideal	Ranking	Raw
ارتفاع	۰/۰۳۶	۰/۰۳۶۲۲۸	۰/۱۴۵۹۹۷	۸	۰/۱۸۱۱۴
افقیم	۰/۰۱۶	۰/۰۱۶۱۲۶	۰/۰۶۴۹۸۶	۱۳	۰/۰۰۸۰۶۳
بارش	۰/۰۴۷	۰/۰۴۶۹۷۷	۰/۱۸۹۳۱۷	۷	۰/۰۲۳۴۸۹
جهت شب	۰/۱۳۷	۰/۱۳۶۵۵۵	۰/۵۵۰۳۰۹	۲	۰/۰۶۸۲۷۷
خاک	۰/۰۲۸	۰/۰۲۷۹۹۹	۰/۱۱۲۸۳۵	۱۰	۰/۰۱۳۹۹۹
Roberto توبوگرافیک	۰/۰۳۱	۰/۰۳۰۷۲۶	۰/۱۲۳۸۲۲۳	۹	۰/۰۱۵۳۶۳
لیتلولوژی	۰/۰۷۴	۰/۰۷۴۳۷۶	۰/۲۹۹۷۳۲	۶	۰/۰۳۷۱۸۸
شب	۰/۰۹۱	۰/۰۹۰۵۸۷	۰/۳۶۵۰۶۰	۵	۰/۰۴۵۲۹۳
طول شب	۰/۰۱۷	۰/۰۱۶۸۵۷	۰/۰۶۷۹۳۲	۱۲	۰/۰۰۸۴۲۸

فاصله از آبراهه	۰/۱۱۷	۰/۱۱۶۷۲۴	۰/۴۷۰۳۹۲	۴	۰/۰۵۸۳۶۲
فاصله از جاده	۰/۰۱۸	۰/۰۱۸۵۰۰	۰/۰۷۴۵۰۳	۱۱	۰/۰۰۹۲۵۰
فاصله از گسل	۰/۲۴۸	۰/۲۴۸۱۴۲	۱	۱	۰/۱۲۴۰۷۱
قررت آبراهه	۰/۱۲۹	۰/۱۲۹۳۷۳	۰/۵۲۱۳۶۶	۳	۰/۰۶۴۶۸۶
کاربری اراضی	۰/۰۱۱	۰/۰۱۰۸۳۱	۰/۰۴۳۶۴۷	۱۴	۰/۰۰۵۴۱۵

رگرسیون لجستیک

در پژوهش حاضر، از مدل رگرسیون لجستیک به منظور تحلیل ارتباط فضایی بین رویداد زمین‌لغزش و عوامل مؤثر در این رویداد استفاده می‌شود؛ نقشه‌های مربوط به عوامل مؤثر در زمین‌لغزش‌های منطقه مورد مطالعه که متغیرهای مستقل در رویداد زمین‌لغزش هستند، وارد نرم‌افزار ادريسی سلوا شد و برای اجرای مدل رگرسیون لجستیک مورد پردازش قرار گرفتند، بر این اساس لایه‌های گسل‌ها، رودخانه و جاده که در ابتدا به صورت لایه وکتوری بودند به لایه رستر تبدیل شده اراضی و لیتوژوئی نیز از لایه وکتوری به رستری تبدیل شدند. برای آنهاتابع Distance ASSIGN/Edit تعريف شد در این قسمت وزن هر کلاس بر اساس درصد تراکم زمین‌لغزش‌ها در هر کلاس معین گردید. درصد تراکم زمین‌لغزش‌ها از نسبت مساحت زمین‌لغزش‌ها در هر کلاس به مساحت کل زمین‌لغزش‌ها بدست آمد. برای این منظور از تابع Statistics Zonal در محیط ArcGIS استفاده شد. در ادامه لایه‌های شیب، جهت دامنه و طبقات ارتفاعی توسط تابع Reclassify به صورت مجدد کلاس‌بندی گردید. لایه پراکنش زمین‌لغزش‌های منطقه نیز توسط تابع Calculator Image به صورت نقشه بازیزی ۰ و ۱ تبدیل گردید. بدین معنی که پیکسل‌های لغزشی بر روی نقشه مزبور با عدد ۱ (وجود لغزش) پیکسل‌های غیر لغزشی با عدد ۰ (عدم وجود لغزش) نشان داده شد. نهایتاً پس از ورود داده‌ها به مدل آماری رگرسیون لجستیک با استفاده از پارامترهای مؤثر در نرم افزار ادريسی سلوا، ضرایب مدل مطابق جدول (۵) استخراج شده و پس از محاسبات لازم به صورت مقایسه‌ای با نتایج مدل ANP در جدول (۶) ارائه شده است. در جداول ۷ و ۸ نیز نتایج پهنه‌بندی هر دو روش همراه با مساحت و درصد لغزش‌های رخداده مقایسه شده‌اند. برای بررسی این مدل از تست Square Chi, Square R Pseudo, ROC معادله رگرسیون:

آبراهه^{*} (۰/۲۶۱۵) + (شیب^{*} ۰/۰۲۷۶) + (جاده^{*} ۰/۰۶۰۷۳) + (فاصله از رودخانه^{*} ۰/۰۴۸۲) + (بارش^{*} ۰/۱۹۷۳) + (طول^{*} ۰/۰۴۳۱) - شیب^{*} (۰/۰۱۷۶) - (لیتوژوژی^{*} ۰/۰۳۹۱) - (کاربری^{*} ۰/۰۱۷۵) - (ارتفاع^{*} ۰/۰۵۴۸۷) + (اقلیم^{*} ۰/۰۴۸۷۵) + (جهت شیب^{*} ۰/۰۳۴۸۸) + (خاک^{*} ۰/۰۲۶۳۶) = Final Landslide Logit

جدول ۵: ضرایب حاصل از مدل رگرسیون لجستیک

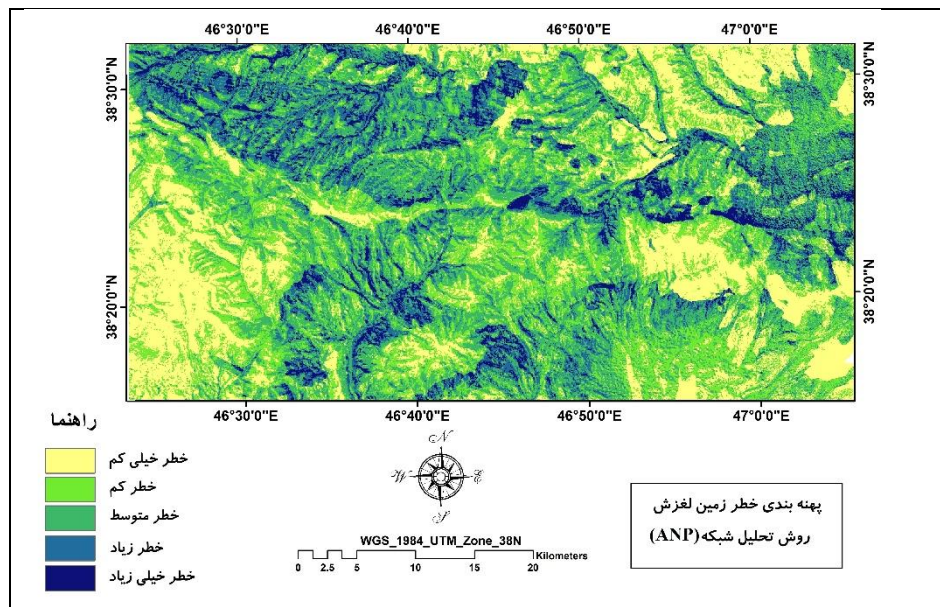
مشغیرهای مستقل	مشغیرهای مستقل
خرابیا	خرابیا
عدد ثابت	عدد ثابت
افقیم	افقیم
جهت شیب	جهت شیب
فاصله از گسل	فاصله از گسل
کاربری اراضی	کاربری اراضی
لسولولوی	لسولولوی
طول شیب	طول شیب
بارش	بارش
فاصله از روختانه	فاصله از روختانه
فاصله از جاده	فاصله از جاده
تبیہ	تبیہ
شاخص قدرت	شاخص قدرت
آباده	آباده
شاخص رطوبت	شاخص رطوبت
تزویج اقیک	تزویج اقیک
طبقات ارتفاعی	طبقات ارتفاعی
ذراک	ذراک

جدول ۶: مقایسه مساحت و درصد کلاس‌های پهنه‌بندی حساسیت زمین‌لغزش به روش ANP و رگرسیون لجستیک

روش رگرسیون لجستیک		روش تحلیل شبکه (ANP)		کلاس
درصد مساحت	مساحت (کیلومترمربع)	درصد مساحت	مساحت (کیلومترمربع)	
۲۰/۸۳۵۱	۳۹۷/۲۸۴۱	۲۲/۲۸۶۰	۴۲۰/۶۷۲۱	خطر خیلی کم
۲۶/۵۵۹۴	۵۰۱/۳۳۶۶	۲۵/۵۹۰۳	۴۸۳/۰۴۴۴	خطر کم
۲۹/۱۰۰۵	۵۴۹/۳۰۲۹	۳۲/۲۳۷۸	۶۰۸/۰۵۲۰	خطر متوسط
۱۷/۵۷۶۶	۲۲۲/۶۶۴۲	۱۳/۴۱۶۵	۲۵۳/۲۴۹۵	خطر زیاد
۰/۸۲۸۳	۱۱۰/۰۱۶۰	۶/۴۶۹۴	۱۲۲/۱۱۶۷	خطر خیلی زیاد
۱۰۰	۱۸۸۷/۶۰۳۸	۱۰۰	۱۸۸۷/۶۰۳۸	مجموع

جدول ۷: مساحت کلاس‌های پهنه‌بندی حساسیت زمین‌لغزش و درصد زمین‌لغزش‌های رخداده در روش تحلیل شبکه ANP

روش تحلیل شبکه				کلاس
مساحت زمین‌لغزش‌های رخداده به به درصد	مساحت زمین‌لغزش‌های رخداده به کیلومترمربع	درصد مساحت پهنه‌بندی		
۴/۲۵۸۲	-/۳۱	۲۲/۲۸۶۰	خطر خیلی کم	
۱۲/۱۲۲۳	-/۸۸۲۵	۲۵/۵۹۰۳	خطر کم	
۲۱/۴۶۶۹	۱/۵۶۲۵	۳۲/۲۳۷۸	خطر متوسط	
۲۶/۰۶۴۶	۱/۸۹۷۵	۱۳/۴۱۶۵	خطر زیاد	
۳۶/۰۹۲۰	۲/۶۲۷۵	۶/۴۶۹۴	خطر خیلی زیاد	
۱۰۰	۷/۲۸	۱۰۰	مجموع	



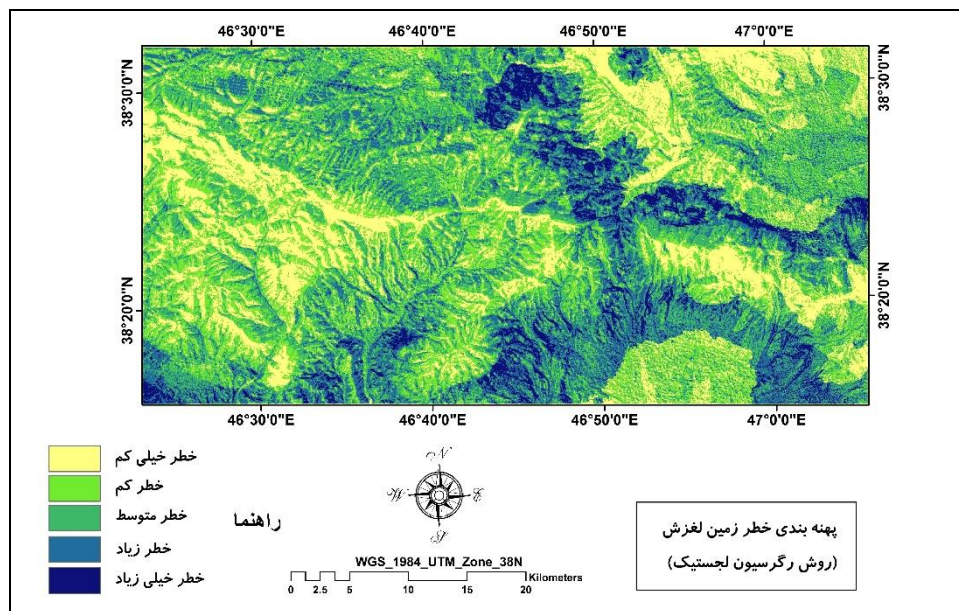
شکل ۱۸: پهنه‌بندی خطر وقوع زمین‌لغزش با استفاده از روش تحلیل شبکه (ANP)

در مدل حاضر که با استفاده از رگرسیون لجستیک انجام گرفت، عامل بارش با بیشترین ضریب بهترین متغیر پیش‌بینی کننده احتمال وقوع زمین‌لغزش در منطقه به شمار می‌رود و پس از آن به ترتیب فاصله از گسل، فاصله از جاده و ارتفاع بیشترین ضرایب را به خود اختصاص داده‌اند و عوامل طول شیب و کاربری به عنوان کم‌اثرترین متغیر مستقل در رویداد زمین‌لغزش

منطقه مورد مطالعه مطرح است. پس از انجام پهنه‌بندی، درصد پهنه‌های لغزشی در هر کلاس محاسبه شد نتیجه نشان داد که مناطقی که با خطر خیلی زیاد پهنه‌بندی شده‌اند بیشترین درصد از میزان مساحت زمین‌لغزش‌های رخداده را به خود اختصاص داده‌اند. این پهنه‌ها عمدتاً دارای بارش نسبی زیاد، نزدیک گسل و جاده‌های اصلی تبریز-اهر بعد از گردنه گوئیجه‌بیل و اهر-ورزان در دامنه‌های رو به شمال و شمال غربی و در مجاورت رومکز زلزله‌های با بزرگای $6/4$ و $6/2$ سال هستند. جدول (۸) درصد پهنه‌های لغزشی در هر کلاس را در منطقه مورد نظر نشان می‌دهد.

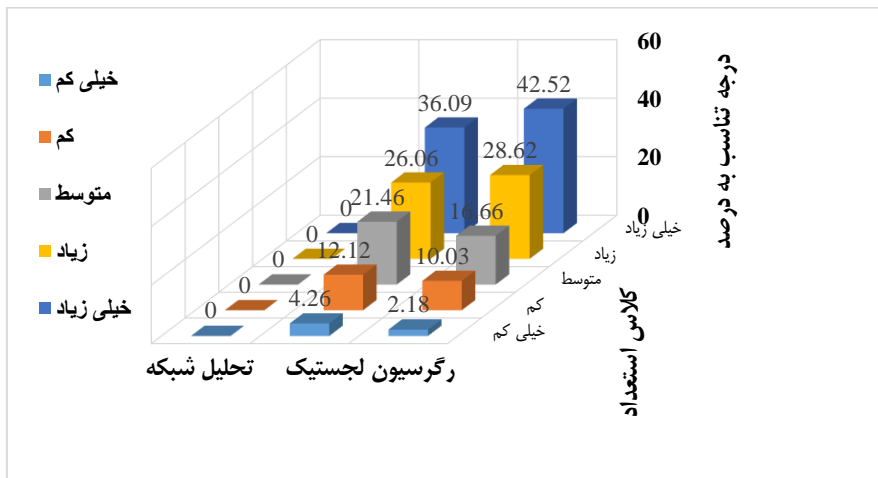
جدول ۸: مساحت کلاس‌های پهنه‌بندی حساسیت زمین‌لغزش و درصد زمین‌لغزش‌های رخداده در روش رگرسیون لجستیک

روش رگرسیون لجستیک			
مساحت زمین‌لغزش‌های رخداده به درصد	مساحت زمین‌لغزش‌های رخداده به کیلومترمربع	درصد مساحت پهنه‌بندی	کلاس
۲/۱۷۵۸	۰/۱۵۸۴	۲۰/۸۳۵۱	خطر خیلی کم
۱۰/۰۳۰۲	۰/۷۳۰۲	۲۶/۵۵۹۴	خطر کم
۱۶/۶۵۵۲	۱/۲۱۲۵	۲۹/۱۰۰۵	خطر متوسط
۲۸/۶۱۹۵	۲/۰۸۳۵	۱۷/۶۷۶۶	خطر زیاد
۴۲/۵۱۹۲	۳/۰۹۵۴	۵/۸۲۸۳	خطر خیلی زیاد
۱۰۰	۷/۲۸	۱۰۰	مجموع



شکل ۱۹: پهنه‌بندی خطر وقوع زمین‌لغزش با استفاده از روش رگرسیون لجستیک

نتایج حاصل از مدل از طریق قطع دادن نقشه پراکنش زمین‌لغزش‌ها با نقشه پهنه‌بندی به صورت درجه تناسب مدل با پراکنش زمین‌لغزش‌ها مورد ارزیابی قرار گرفت (شکل ۲۰). مقدار خطای نسبی بر اساس مجموع کلاس‌های مستعد خطر خیلی پایین و پایین به دست آمد، در حالیکه مقدار موفقیت نسبی مدل، از مجموع کلاس‌های مستعد خطر زیاد و خیلی زیاد حاصل شد. بنابراین با توجه به نتایج به دست آمده، مقدار خطای نسبی برابر با $۱۳/۵۰۶۵\%$ و بالاترین میزان موفقیت نسبی برابر با $۲۰/۸۳\%$ است.



شکل ۲۰: مقایسه درجه تناسب بین نتایج رگرسیون لجستیک و تحلیل شبکه با نقشه پراکنش زمین‌لغزش‌ها

ارزیابی مدل

آزمون کی دو^۱: آزمون کی دو، یک آزمون معنبر و معمولی برای رگرسیون لجستیک است از اختلاف بین $-2\ln(L)$ برای مدل بهترین بازش و $-2\ln(L_0)$ ^۲ برای فرضیه صفر است، به دست می‌آید. چنانچه این آماره در سطح ۹۵ درصد معنی‌دار باشد^۳. Chi Square فرضیه صفر (H_0) رد می‌شود. مقدار شاخص کی دو نیز برابر $\frac{340}{4060}$ گردید که با توجه به اینکه مقدار آن بسیار بیشتر از مقدار آستانه تعیین شده است در نتیجه فرض صفر بودن تمام ضرایب نیز رد می‌گردد.

آزمون راک^۴: منحنی راک یکی از مفیدترین و کارآمدترین روش‌ها در ارائه خصوصیات تعیینی، شناسایی احتمالی و پیش‌بینی سیستم هاست که میزان دقت مدل را به صورت کمی برآورد می‌کند (ون وسترن، ۲۰۰۲، ۸). در منحنی راک ایده‌آل ترین مدل، بیشترین سطح زیر منحنی را دارد و مقادیر AUC از $0/0$ تا 1 متغیر است (ناندی و شکور، ۲۰۰۹). چنانچه مدلی نتواند رخداد لغزشی را بهتر از دیدگاه احتمالی (تصادفی) تخمین زند مقدار AUC آن $0/5$ است و زمانی که منحنی راک، سطح زیر منحنی برابر با یک داشته باشد، بیانگر بهترین دقت از نقشه‌های پهنه‌بندی تهیه شده، است. همبستگی کمی-کیفی سطح زیر منحنی و ارزیابی تخمین به صورت زیر است: ($0/9-1/0$ عالی، $0/8-0/9$ خیلی خوب، $0/7-0/8$ خوب، $0/6-0/7$ متوسط و $0/5-0/6$ ضعیف) (زو و همکاران، ۲۰۰۹، ۳۴۵، ۲۰۰۵، ۵، یشیل‌نجار، ۲۰۰۵، ۲۳۷). نتایج تحلیل منحنی راک برای مدل رگرسیون لجستیک نشان داد که نقشه حساسیت زمین‌لغزش تهیه شده در منطقه مورد مطالعه با سطح زیر منحنی $0/855250$ دارای قدرت پیش‌بینی خیلی خوب می‌باشد. شکل‌های (۲۱) و (۲۲) به ترتیب منحنی ROC را در روش‌های LR و ANP نشان می‌دهد.

^۱. Chi Square

^۲. ROC

^۳. Nandi & Shakoor

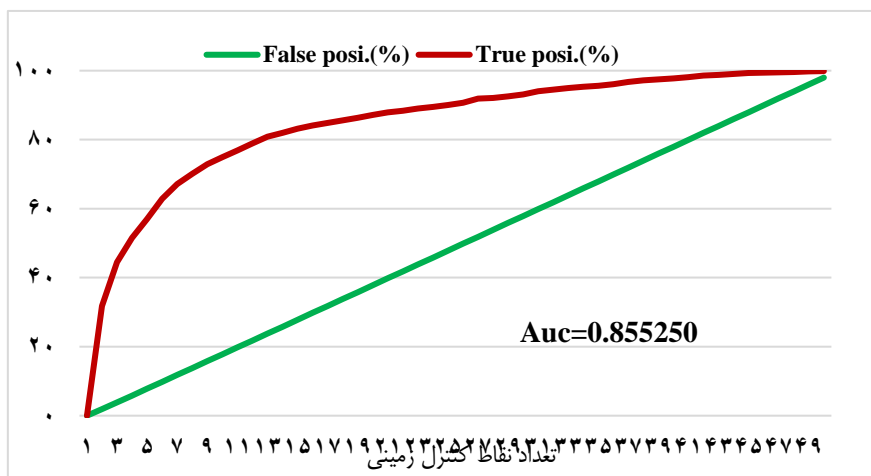
^۴. Zhu et al

^۵. Yesilnacar

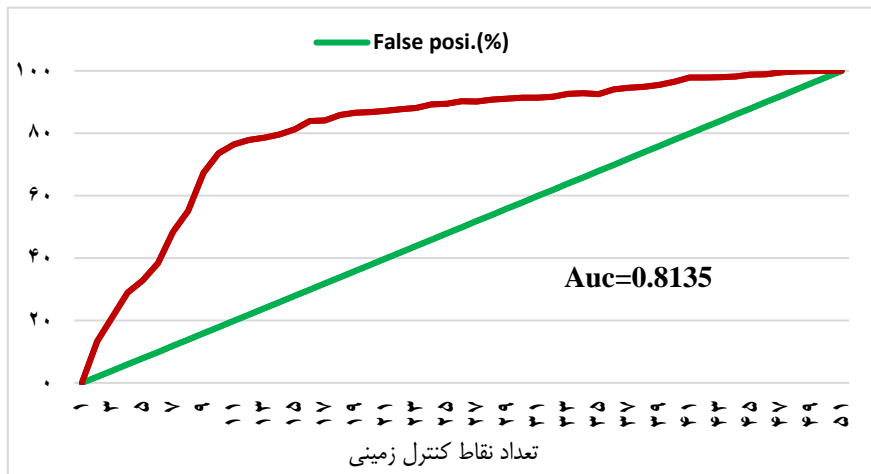
$$\text{PR2} = 1 - \frac{\ln(L)}{\ln(L_0)} \quad \text{رابطه (۳)}$$

آزمون (PR2) Pseudo R Square

در این رابطه، PR2 مساوی با ۱ نشان‌دهنده برازش کامل مدل و برابر با صفر نشان‌دهنده عدم رابطه متغیرهای مستقل با متغیر وابسته می‌باشد. اگر مقدار PR2 بزرگتر از $\frac{1}{2}$ باشد نشان‌دهنده برازش نسبتاً خوب مدل است (آیالیو، ۲۰۰۵). نظر به این که در این تحقیق مقدار شاخص PR2 برابر 0.855250 به دست آمد و مقدار آن بزرگتر از آستانه $\frac{1}{2}$ می‌باشد، این مدل برازش قابل قبولی را نشان می‌دهد.



شکل ۲۱: منحنی Roc و سطح زیر منحنی مربوط به دقت نقشه حساسیت پهنه‌بندی زمین‌لغزش به روش رگرسیون لجستیک

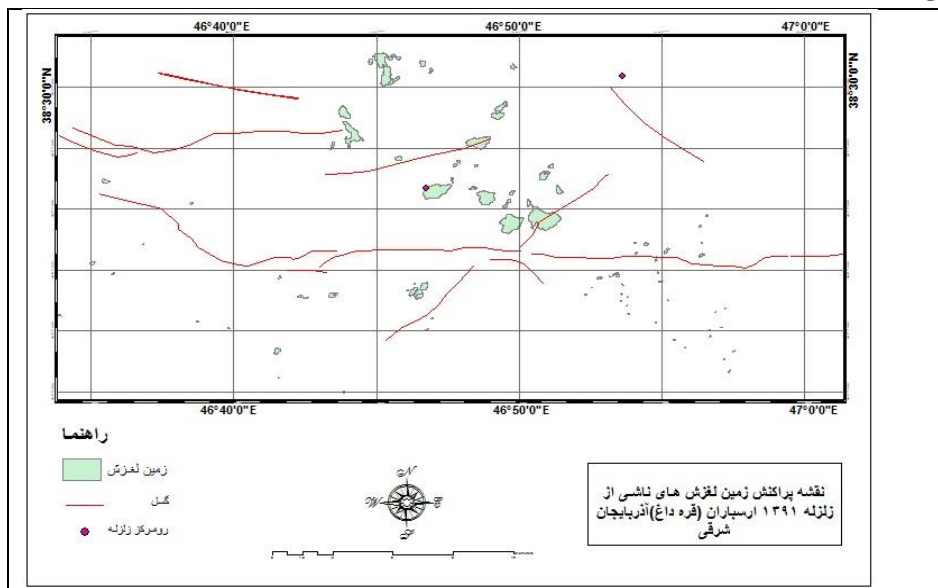


شکل ۲۲: منحنی Roc و سطح زیر منحنی مربوط به دقت نقشه حساسیت پهنه‌بندی زمین‌لغزش به تحلیل شبکه در منطقه مطالعه

لرزه خیزی و زمین‌لغزش

در ایران نیز مانند بسیاری از نقاط دیگر جهان، فاجعه‌آمیزترین و دلخراش‌ترین زمین‌لغزش‌ها با زلزله‌های شدید تحریک و آغاز می‌شوند. زمین‌لغزش‌های تحریک شده توسط زلزله، علاوه بر ایجاد تلفات و خسارات مستقیم، از طریق وارد ساختن خسارت به شریان‌های حیاتی به ویژه راه‌های ارتباطی و خطوط برق و ایجاد تأخیر در امدادرسانی می‌توانند تلفات و خسارات ناشی از زلزله را نیز شدیداً افزایش دهند. تأثیر زلزله بر ناپایداری شیب‌ها تنها به اعمال نیروهای اینرسی اضافی در توده سنگ خلاصه نمی‌شود. همچنین وجود فعالیت‌های زمین‌ساختی و گسل‌خوردگی‌های ناشی از زلزله در درازمدت در یک

منطقه، شرایط را برای ایجاد شکستگی‌های عمومی، کاهش مقاومت و افزایش مقدار آب که خود موجب ایجاد ناپایداری شیب‌ها می‌شود فراهم می‌سازد. وقوع یک زلزله شدید نه تنها زمین‌لغزش‌های زیادی را به طور همزمان تحریک می‌کند بلکه تا سال‌ها بعد نیز اثر خود را به صورت افزایش تعداد زمین‌لغزش‌ها در منطقه بر جای می‌گذارد. در ارزیابی دیگر و در پیمایشی به منظور تطبیق گسل‌ها و دگرگیختن‌های ناشی از زلزله، همزمان موقعیت بیشتر زمین‌لغزش‌های رخ داده در منطقه نیز توسط دستگاه جی‌پی‌اس ثبت شد و سپس با استفاده از تصاویر ماهواره‌ای (IRS) و گوگل ارث برای مدل‌سازی استخراج شدند (شکل ۲۳). برای اینکه نقشه‌های بدست آمده از مدل‌ها را از نظر دقت پیش‌بینی مورد ارزیابی قرار دهیم حدود ۴۰ درصد از زمین‌لغزش رخداده پس از زلزله و استفاده نشده در مدل‌سازی را با نقشه‌های طبقه‌بندی زمین‌لغزش روی هم‌گذاری کرده و درصد پراکنش فضایی آنها را در هر کدام از طبقات بدست آورديم. نتیجه این روی هم‌گذاری در مدل ANP نشان داد با اینکه تنها ۱/۵ درصد از کل منطقه در کلاس با حساسیت خیلی زیاد قرار گرفته در حدود ۳۶/۱ درصد از زمین‌لغزش‌های در نظر گرفته شده برای ارزیابی در این طبقه قرار گرفته است. این نتایج برای مدل رگرسیون لجستیک بهتر و به ترتیب ۵/۸ و ۴۲/۵ درصد برآورد شده است. در حالت کلی حدود ۶۲/۲ درصد از این زمین‌لغزش‌ها در مدل ANP و حدود ۷۱/۱ درصد در روش رگرسیون لجستیک در دو کلاس با خطر زیاد و خیلی زیاد قرار گرفته است که این امر نشان‌گر دقت قابل قبول نقشه‌های پیش‌بینی شده برای زمین‌لغزش به ویژه روش رگرسیون لجستیک می‌باشد.



شکل ۲۳: نقشه پراکنش زمین‌لغزش‌های ناشی از زلزله ۱۳۹۱ ارسپاران آذربایجان شرقی

نتیجه گیری

پهن‌بندی خطر زمین‌لغزش یکی از مهم‌ترین مراحل مدیریت خطر به‌ویژه در علم مخاطرات ژئومورفولوژی و از ضروریات آمایش سرزمین و مدیریت منابع طبیعی است و این مهم در مناطق لرزه‌خیز از آن جهت اهمیت بیشتری می‌یابد که تکانه‌های ناشی از زلزله، در کنار سایر عوامل مسبب، پتانسیل حرکات دامنه‌ای را بالا می‌برد نوعی همزادی به وجود می‌آورد و زمینه را برای ناپایداری‌های آتی نیز فراهم می‌کند. هدف از پژوهش حاضر علاوه بر مدل‌سازی حساسیت زمین‌لغزش در پنهان متأثر از زلزله ۲۱ مرداد ۱۳۹۱ ارسپاران با استفاده از روش تحلیل شبکه (ANP)، بررسی قابلیت و توانایی این مدل در مقایسه با روشی دیگر نیز بوده است. لذا فاکتورهای مؤثر در زمین‌لغزش شناسایی و در محیط نرم‌افزار Super Decision وزن هر کدام از فاکتورها مشخص گردید. سپس وزن‌های بدست آمده در محیط نرم‌افزار ArcGIS اعمال و به نقشه نهایی پهن‌بندی زمین‌لغزش تبدیل شدند. براین اساس از میان چهارده فاکتور مؤثر در رخداد زمین‌لغزش‌های

منطقه، فاصله از گسل مؤثرترین فاکتور مشترک دو مدل (ANP) و (LR) بیشترین ضریب تأثیر را در وقوع زمین‌لغزش داشته است در حالی که کاربری زمین در هر دو مدل، کمترین ضریب را به دست آورده است. همان‌طور که انتظار می‌رفت حرایم گسل‌های اصلی به ویژه گسل‌های قوشاداغ و گویجه‌بئل و حدفاصل رومرکزهای زمین‌لرزه‌های دوقلوی ارسباران و نیز دامنه‌های شمالی و شمال شرقی از حساسیت ناپایداری بیشتری برخوردارند. نقشه حاصل از اجرای مدل، حساسیت وقوع زمین‌لغزش را در ۵ کلاس با حساسیت خیلی کم، کم، متوسط، زیاد و خیلی زیاد طبقه‌بندی کرده است. کلاس‌های خطر خیلی زیاد و زیاد به ترتیب $6/5$ و $13/4$ درصد از مساحت منطقه را مستعد خطر زمین‌لغزش نشان داده است. این نتایج با مدل اجرا شده در روش رگرسیون لجستیک نیز که به ترتیب $5/8$ و $17/7$ در صد منطقه را شامل می‌شود همبستگی و همخوانی بالایی را نشان می‌دهد. وقوع حدود $62/2$ و $71/1$ درصد لغزش‌ها در کلاس‌های خطر زیاد و خیلی زیاد به ترتیب در ANP و رگرسیون لجستیک، نشان‌دهنده دقت قابل قبول نقشه‌های پیش‌بینی شده برای زمین‌لغزش می‌باشد. نتایج به دست آمده نشان‌دهنده دقت روش‌های ANP و LR، در بررسی زمین‌لغزش در محدوده متأثر از زلزله ارسباران می‌باشد. از آنجاکه روش ANP، سامانمند با وابستگی‌ها برخورد می‌کند یعنی تمام وابستگی‌های بیرونی و درونی میان عناصر و خواشید را برای تحلیل در نظر می‌گیرد، اما سایر روش‌ها این روابط را کمتر در نظر می‌گیرند. بنابراین همان‌طور که نتایج مطالعه محققانی چون؛ مقمی و همکاران (۱۳۹۲)، روستایی و خدائی (۱۳۹۵)، پیش‌نماز احمدی و همکاران (۱۳۹۷)، قشلاقی و همکاران (۲۰۱۷) و ... بر مناسب بودن مدل تحلیل شبکه و بررسی‌های خالدی و همکاران (۱۳۹۱)، شیرزادی و همکاران (۱۳۹۴)، مهدویفر و همکاران (۲۰۱۶) و ... بر ارجحیت روش رگرسیون لجستیک تأکید دارند، استفاده از این روش‌ها در کنار هم و مقایسه آن‌ها با توجه به وابستگی‌های مسائل زمین‌لغزش جهت شناسایی مناطق مستعد زمین‌لغزش می‌تواند بسیار سودمند باشد. همان‌گونه که مطرح شد این روش‌ها، نتایج قابل قبولی را در تحلیل حساسیت به وقوع زمین‌لغزش داشته است. بیشترین تراکم زمین‌لغزش‌ها، حتی لغزش‌های قدیمی در حدفاصل دو رومرکز زلزله‌های با بزرگای $6/4$ و $6/2$ سال ۱۳۹۱ اتفاقی نبوده و نشان‌دهنده سابقه لرزه‌خیزی و فعالیت بالای تکتونیکی منطقه می‌باشد.

منابع

- پیش‌نماز احمدی، مجید؛ محمدزاده، کیوان؛ تقی، مهدی، ۱۳۹۷، پهنه‌بندی خطر وقوع زمین‌لغزش و خطرپذیری سکونتگاه‌های روستایی در زیرحوضه روبار با روش تحلیل شبکه (ANP)، پژوهش‌های ژئومورفولوژی کمی، سال هفتم، شماره ۱، زمستان، صص ۲۱۱-۲۲۵.
- حسین‌زاده، محمدحسین؛ ثروتی، محمدرضا؛ منصوری، عادل؛ میرباقری، بابک؛ خضری، سعید، ۱۳۸۸، پهنه‌بندی ریسک وقوع حرکات توده‌ای با استفاده از مدل رگرسیون لجستیک، *فصلنامه زمین‌شناسی ایران*، سال سوم، شماره ۱۱، پاییز، صص ۲۷-۳۷.
- رجبی، معصومه؛ ولی‌زاده کامران، خلیل؛ عابدی قشلاقی، حسین، ۱۳۹۵، ارزیابی و پهنه‌بندی زمین‌لغزش با استفاده از فرایند تحلیل شبکه و شبکه عصبی مصنوعی، مطالعه موردی: حوضه آذرشهرچای، پژوهش ژئومورفولوژی کمی، سال پنجم، شماره ۱، صص ۶۰-۷۴.
- روستایی، شهرام؛ خدائی، لیلا، ۱۳۹۵، ارزیابی روش‌های تحلیل شبکه (ANP) و رگرسیون لجستیک در بررسی پتانسیل وقوع زمین‌لغزش در محدوده محور و مخزن سد، مطالعه موردی: سد قلعه‌چای، پژوهش ژئومورفولوژی کمی، سال پنجم، شماره ۳، زمستان، صص ۶۸-۸۰.
- شریعت جعفری، ح. ۱۳۷۵، زمین‌لغزش، میانی و اصول پایداری شیب‌های طبیعی، چاپ اول، انتشارات سازه، تهران.
- شیرزادی، عطاالله؛ سلیمانی، کریم؛ حبیب نژاد روش، محمود؛ چی، کاران. ۱۳۸۹، مقایسه مدل‌های رگرسیون لجستیک و نسبت فراوانی در پهنه‌بندی خطر ریزش سنگ، نشریه مرتع و آبخیزداری، *مجله منابع طبیعی ایران*، دوره ۶۳، شماره ۴، صص ۴۸۹-۵۰۲.

- عابدینی، موسی؛ قاسمیان، بهاره؛ شیرزادی، عطا...، ۱۳۹۳، مدل‌سازی خطر وقوع زمین‌لغزش با استفاده از مدل آماری رگرسیون لجستیک مطالعه موردنی : استان کردستان، شهرستان بیجار، **جغرافیا و توسعه**، شماره ۳۷، زمستان، ص ۸۵-۱۰۲.
- عابدینی، موسی؛ روستایی، شهرام؛ فتحی، محمدحسین، ۱۳۹۵، پهنه‌بندی حساسیت وقوع زمین‌لغزش با استفاده از مدل هیبریدی قضیه بیز-ANP (مطالعه موردنی: کرانه جنوبی حوضه آبریز اهرچای از روستای نصیرآباد تا سد ستارخان)، **پژوهش‌های ژئومورفولوژی کمی**، سال پنجم، شماره ۱، تابستان، صص ۱۴۲-۱۵۹.
- فتحی، محمدحسین؛ بهشتی جاوید، ابراهیم و عابدینی، موسی، ۱۳۹۴، پهنه‌بندی حساسیت وقوع زمین‌لغزش با مدل‌های آماری دومتغیره و منطق فازی. **جغرافیا و برنامه‌ریزی محیطی**، ۲۶(۳)، صص ۴۹-۶۰.
- طلایی، رضا، صمداف، سردار؛ شعاعی، ضیالدین؛ شریعت جعفری، محسن. ۱۳۸۸، مدل‌سازی و پیش‌بینی وقوع زمین‌لغزش با استفاده از مدل آماری رگرسیون لجستیک در منطقه هشتگنج (جنوب استان اردبیل)، **ششمین همایش زمین‌شناسی مهندسی و محیط زیست ایران**، دانشگاه تربیت مدرس.
- متولی، صدرالدین، اسماعیلی، رضا، حسین‌زاده، محمدمهری، ۱۳۸۸، تعیین حساسیت وقوع زمین‌لغزش با استفاده از روش رگرسیون لجستیک در حوضه آبریز واژ (استان مازندران)، **فصل‌نامه جغرافیای طبیعی**، صص ۷۳-۸۴.
- مختاری، داود، ۱۳۸۵، جایگاه ژئومورفولوژی در ارزیابی بلایای طبیعی و مقابله با آن‌ها در ایران، **فصل‌نامه جغرافیایی سوزمین**، سال سوم، شماره ۹، بهار، صص ۵۱-۶۵.
- مختاری، داود، ۱۳۸۴، آسیب‌پذیری سکونتگاه‌های روستایی از فعالیت گسل و ضرورت جابجایی آنها (نمونه موردنی: روستاهای واقع در امتداد گسل شمالی میشو)، **پژوهش‌های جغرافیایی**، سال ۱، شماره ۵۱، صص ۶۲-۸۶.
- مقیمی، ابراهیم؛ یمانی، مجتبی؛ رحیمی هرآبادی، سعید، ۱۳۹۲، ارزیابی و پهنه‌بندی خطر زمین‌لغزش در شهر رودبار با استفاده از فرآیند تحلیل شبکه، **پژوهش‌های ژئومورفولوژی کمی**، شماره ۴، بهار، صص ۱۰۳-۱۱۸.
- Abedini, M., Tulabi, S., (2018). Assessing LNRF, FR, and AHP models in landslide susceptibility mapping index: a comparative study of Nojian watershed in Lorestan province, Iran, *Environmental Earth Sciences* (2018) 77:405. <https://doi.org/10.1007/s12665-018-7524-1>
- Abedini, M., Ghasemyan, B., Rezaei Mogaddam, M. H. (2017). Landslide susceptibility mapping in Bijar city, Kurdistan Province, Iran: a comparative study by logistic regression and AHP models, *Environ Earth Sci* (2017) 76:308, DOI 10.1007/s12665-017-6502-3.
- Atkinson, P., Massari, R (2011). Logistic modeling susceptibility to land sliding in the Apennines, Italy *Geomorphology*. Vol.130.
- Ayalew, L. Yamagishi, H. Marui, H & Kanno, T. (2005). "Landslides in Sado Island of Japan: Part II. GIS-based susceptibility mapping with comparisons of results from two methods and verifications.", *Engineering Geology* 81, 432– 445.
- Berberian, M. & Yeats, R. S., (1999). Patterns of historical earthquake rupture in the Iranian Plateau, *Bull. Seism. Soc. Am.*, 89, 120–139.
- Chen, Zhaohua. Wang, Jinfei, (2007). Landslide hazard mapping using logistic regression model in Mackenzie Valley, Canada. *Geomorphology*, Vol.42.
- Das, I., S. Sahoo, C. Van Westen, A. Stein and R. Hack. (2010). Landslide Susceptibility Assessment Using Logistic Regression and its Comparison with a rock Mass Classification System, along a Road Section in the Northern Himalayas (India), *Geomorphology*, 114: 627-637.
- Donner, S., Ghods, A., Krüger, F., Rößler, D., Landgraf, A., Balato, P., (2015), 11 August 2012: Regional Seismic Moment Tensors and a Seismotectonic Interpretation, *Bulletin of the Seismological Society of America*, 105 (2A): 791-807.

- Ghoshlaghi, H. A., & Feizizadeh, B. (2017). *An integrated approach of analytical network process and fuzzy based spatial decision making systems applied to landslide risk mapping*. *Journal of African Earth Sciences*, 133, 15-24.
- Gregory C.Ohlmacher, John C. Davis (2003). *Using multiple logistic regression and GIS technology to predict landslide hazard in northeast Kansas, USA*. *Geomorphology*, Vol 69.
- Khaledi, S., derafshi, K., Mehrjunejad, A., Gharachahi, S., Khaledi, S. (2012). *Assessment of the landslide effective factors and zonation of this event using logistic regression in the GIS environment (Case Study Taleghan Watershed)*. *Journal of Geography and Environmental Hazards*. No 1, 65-82.
- Krishna, H.(1999). *Landslide hazard zonation mapping using remote sensing &GIS, geomorphology*, 21, 153-163.
- Lee, H., Lee, S., & Park, Y. (2009). *Selection of technology acquisition mode using the analytic network process*. *Mathematical and Computer Modeling*, 49(5), 1274- 1282.
- Mahdavifar, M., Askari, F., Memarian, P., Seyedimorad, M. (2016). *Earthquake-Induced Rock Fall Hazard Zonation of Varzeghan-Ahar Region in Northwest Iran: A Comparison of Quantitative and Qualitative Approaches*, JSEE, Vol. 18, No. 2,
- Nandi, A. & Shakoor, A., (2009). *A GIS-based landslide susceptibility evaluation using bivariate and multivariate statistical analyses*. *Engineering Geology*, V. 110, p. 11–20.
- Neupane KM, Piantanakulchai M. (2006). *Analytic network process model for landslide hazard zonation*. *Engineering Geology*, 85(3): 281-294.
- Parthian, B., Lee, S. (2010). *Landslide susceptibility assessment and factor effect analysis: bad propagation artificial neural networks and comparison with frequency ratio and bivariate logistic regression modeling*. *Geomorphology*, Vol. 25.
- Pourghasemi, H. R., & Rahmati, O. (2018). *Prediction of the landslide susceptibility: Which algorithm, which precision?*. *CATENA*, 162, 177-192.
- Saaty Thomas L. (2005), *Theory and Applications of the Analytic Network Process: Decision Making with Benefits, Opportunities, Costs, and Risks*, RWS Publications, p 352.
- Saaty, T.L. (1980). *The Analytical Hierarchy Process*. McGraw Hill. New York.
- Samodra, G., Chen, G., Sartohadi, J., & Kasama, K. (2015). *Generating landslide inventory by participatory mapping: an example in Purwosari Area, Yogyakarta, Java*. *Geomorphology*.
- Sanwei H., Peng P., Lan D., Haijun W., Jiping L. (2012). *Application of kernel based Fisher discriminant analysis is to map landslide Susceptibility in the Qinggan River Delta, Three Gorges, China*, *Geomorphology* 171, 30–41.
- Vincoli, Jeffrey W, 1994, *Basic guide to system safety*, Michigan, Van Nostrand-Reinhold, 194P.
- Yalcin, A., S. Reis, A.A. Aydinoglu and T. Yomralioglu. 2011. *A GIS-based comparative study of frequency ratio, analytical hierarchy process, bivariate statistics & logistics regression methods for landslide susceptibility mapping in Trabzon, NE Turkey*. *Geomorphology*, 85: 274-287.
- Yesilnacar, E.K., (2005). *The Application of Computational Intelligence to Landslide Susceptibility Mapping in Turkey*, Ph.D Thesis. Department of Geomatics the University of Melbourne, 423p.
- Zhu, C., Wang. X., (2009). *Landslide susceptibility mapping: A comparison of information and weights-of evidence methods in Three Gorges Area*. *International Conference on Environmental Science and Information Application Technology*, IEEE DOI 10.1109/ESIAT.2009. No.187, PP.342-346.